LGA Bautechnik GmbH Grundbauinstitut, Statik



Prüfungsbericht

Nr. 24G00186 /STMA

Datum: 09.07.2024

1 Vorgang

Bauort: 1.1

Deponie Steinegaden

1.2 Bauvorhaben: Statische Prüfung der Berechnung von Sickerwasserrohren aus PE-HD; da 400 SDR 7,4

z. T. als Segmentbogen verlegt

1.3 Bauherr: Steinegaden Deponie Betrieb GmbH & Co. KG

Wilhelm-Geiger-Str. 1 DE-87561 Oberstdorf

Aufsteller:

SIMONA AG

Division Rohre u. Formteile

Teichweg 16 DE-55606 Kirn

1.5 Planer: Ingenieurbüro Haas-Kahlenberg GmbH

Talhofstrasse 14 DE-82205 Gilching

Bearbeiter:

Dipl.-Ing.(FH) Markus Maletz

Telefon-Nr.:

+49 911 81771-429

Telefax-Nr.:

+49 911 81771-439

LGA Bautechnik GmbH Tillystraße 2 90431 Nürnberg

Mail:

markus.maletz@lga.de

Tel. +49 911 81771-429 Fax +49 911 81771-439 grundbauinstitut@lga.de

Dieser Prüfungsbericht umfasst 6 Textseiten.

Der Prüfungsbericht bezieht sich ausschließlich auf das/die im Bericht genannte(n) Probenmaterial/ Prüfstück.

Geschäftsführung Hans-Peter Trinkl

Dieser Prüfungsbericht darf nur im vollen Wortlaut veröffentlicht werden. Jede Veröffentlichung in Kürzung oder Auszug bedarf der vorherigen Genehmigung durch die LGA Bautechnik GmbH.

Nürnberg HRB 20586

Für die Auftragsabwicklung haben wir wesentliche Daten und Ihre Anschrift gespeichert. Der Datenschutz ist gewährleistet.

www.lga.de



2 Inhalt

1		Vor	gang	1
2		Inha	alt	2
3		Prü	ifungsunterlagen	2
	3.1	1	Geprüfte Unterlagen	2
	3.2	2	Sonstige Unterlagen	2
4		Bau	ubeschreibung und Inhalt der geprüften Unterlagen	3
	4.	1	Baubeschreibung	3
	4.2	2	Inhalt der geprüften Unterlagen	3
5		Bel	lastung und Betriebsbedingungen	3
6		Baı	uprodukte / char. Kennwerte	4
7		Baı	ugrund	4
8		Prü	ifbemerkungen	5
9		Prü	üfergebnis	5
1()	Sor	nstige Bemerkungen	6

3 Prüfungsunterlagen

3.1 Geprüfte Unterlagen

3.1.1 Statische Berechnungen auf der Grundlage der ATV-DVWK-M 127, Teil 1 "Richtlinie für die statische Berechnung von Entwässerungsleitungen für Sickerwasser aus Deponien" sowie der relevanten Deponie Empfehlungen.

Ein Exemplar á 12 Seiten statische Berechnungen (Bau- und Betriebszustand) vom 30.04.2024 mit einem Anhang (Zeichnung Segmentbogen) [3.2.6] für den Außendurchmesser da 400, SDR 7,4.

3.2 Sonstige Unterlagen

- 3.2.1 Merkblatt ATV-DVWK-M 127-Teil 1, Richtlinie für die statische Berechnung von Entwässerungsleitungen für Sickerwasser aus Deponien, März 1996
- 3.2.2 Vorläufige Bemessungsgrundsätze für Bauteile in Deponien, Deutsches Institut für Bautechnik, Berlin, November 1995



- 3.2.3 G. Sonntag: Die Stabilität dünnwandiger Rohre im kohäsionslosen Kontinuum, Felsmechanik und Ingenieurgeologie Vol. 4/3, 1966, Springer Verlag
- 3.2.3 SKZ / TÜV LGA Güterichtlinie Rohre, Rohrleitungsteile, Schächte und Bauteile in Deponien vom Juni 2017
- 3.2.4 Arbeitsblatt ATV-DVWK-A 127, Richtlinie für die statische Berechnung von Entwässerungskanälen und -leitungen, 3. Auflage August 2000
- 3.2.5 Arbeitsblatt DWA-A 127-10 Statische Berechnung von Entwässerungsanlagen Teil 10: Werkstoffkennwerte September 2020
- 3.2.6 Zeichnung "segementgeschweißter Bogen 20°" Nr. 240326-2LR, da 400 mm, SDR 7,4, SI-MONA Technical Service Center, ohne Datum, ENTWURF

4 Baubeschreibung und Inhalt der geprüften Unterlagen

4.1 Baubeschreibung

Auf der Deponie Steinegaden soll ein Sickerwassersystem zur Deponieentwässerung installiert werden. Dazu werden planmäßig u. a. PE 100-Rohre da 400 mm verlegt.

4.2 Inhalt der geprüften Unterlagen

Die geprüften Unterlagen beinhalten die statische Berechnung für die Überprüfung der Tragfähigkeit der Konstruktion für die unter Ziffer 4.1 beschriebene Baumaßnahme. Dabei wird sowohl der Bau- als auch der Betriebszustand betrachtet.

5 Belastung und Betriebsbedingungen

Die Überdeckungshöhen ergeben sich zu:

 $h_{u,min} = 1,00 \text{ m}$

(Bauzustand)

 $h_{u,max} = 18,30 \text{ m}$

(Betriebszustand)

Die Wichte des mineralischen Mülls wird mit $\gamma_{M\ddot{u}}$ = 15 kN/m³ angegeben – für die Abdeckung ist der Wert einer Bodenwichte von γ_B = 20 kN/m³ verwendet worden.

Eine anstehende Belastung aus Grundwasser ist nicht vorhanden und wird daher auch nicht in Ansatz gebracht.

Die Rohrleitung d_a 400 wird z. T. in einem Segmentbogen (vertikal) verlegt; die Gesamtabwinklung beträgt dabei α = 20° und wird mit 3 Rohrstangen je L = 6,0 m gefertigt. Die Konstruktion wurde mittels FEM räumlich abgebildet und als Vergleichsrechnung überprüft.

Statische Berechnung SIMONA AG vom 30.04.2024



Es wird in der Berechnung eine Einwirkung durch eine Verkehrslast SLW 60 bei geringer Überdeckung angesetzt. Diese erzeugt – bei den höheren Überdeckungen – jedoch keine nennenswerte Bodenspannung in Rohrscheitelhöhe.

6 Bauprodukte / char. Kennwerte

Für das PE-HD Rohr aus PE 100 Material werden die Kennwerte der Fa. SIMONA AG verwendet – für die Vergleichsrechnung wurden die Werte aus dem Arbeitsblatt DWA-A 127-10 in Ansatz gebracht. Diese wurden wegen dem Einfluss des Mediums "Sickerwasser" noch zusätzlich abgemindert.

Biegefestigkeit (Druck) kurzz.: $\sigma_{RBD} = 21,0 \text{ N/mm}^2 \text{ (reduziert)}$ Biegefestigkeit (Druck) langz.: $\sigma_{RBD} = 14,0 \text{ N/mm}^2 \text{ (reduziert)}$

Abminderung Medium: $A_2 = 0.90$

Wichte Rohr: $\gamma_R = 9.6 \text{ kN/m}^3$ Poissonzahl: $\nu = 0.38$

7 Baugrund

Für die Kiesschüttung neben und oberhalb des Rohres wurden folgende bodenmechanischen Kennwerte angesetzt.

Zone: E_1 Bodengruppe: G1

Verformungsmodul: $E_1 = 40 \text{ MN/m}^2$

Zone: E_2 Bodengruppe: G1

Verformungsmodul: $E_{20} = 40 \text{ MN/m}^2$

Der anstehende Boden wurde ebenfalls mit einem Wert von E₃ = 40 MN/m² berücksichtigt.

Unterhalb der Rohrleitung wurde ein Gesamt-Verformungsmodul von $E_4 \approx 5$ MN/m² aus dem Rohrauflager (Bodengruppe G1) und dem darunter befindlichen Boden (Bodengruppe G4) ermittelt.



8 Prüfbemerkungen

- 8.1 Die statischen Berechnungen für die PE-HD Rohre da 400 wurden durch unabhängige Vergleichsberechnungen (Stabwerk-Software, FEM) im Bau- und Betriebszustand geprüft. Es wurden die Ausgangswerte und die, für die Beurteilung der Tragfähigkeit erforderlichen Endergebnisse kontrolliert. Diese können bestätigt werden.
- 8.2 Die Lastannahmen unter Abs. 5 sind auf der Baustelle von der Bauleitung verantwortlich auf Übereinstimmung mit den insitu-Bedingungen zu überprüfen. Bei Abweichungen sind der aufstellende Statiker und der Prüfingenieur zu informieren und die statische Berechnung den geänderten Lasteinwirkungen anzupassen.
- 8.3 Die PE-HD Rohre d_a 400 sind erst ab einer Überdeckung von mindestens $h_0 \ge 1,5$ m mit Schwerlastverkehr zu befahren.
- 8.4 Alle Anschlüsse an feste Bauwerke (z. B.: Schächte) sind so auszuführen, dass Relativbewegungen Bauwerk/Rohr schadlos aufgenommen werden können.
- 8.5 Die Vorgaben bezüglich des Rohrauflagers wurden bei der statischen Prüfung berücksichtigt. Die unter Abs. 5. aufgeführten Lagerungs- und Einbaubedingungen werden als zutreffend vorausgesetzt. Auf die Einhaltung der Verformungsmoduln E₁ bzw. E₂₀ ist zu achten; diese sind ggf. durch einen Baugrundgutachter stichprobenartig zu überprüfen.
- 8.6 In der geprüften statischen Berechnung nach ATV-DVWK-A 127 wird eine gleichmäßige Lagerung in Rohrlängsrichtung vorausgesetzt. Belastungen der Rohrleitung durch ungleichmäßige Setzungen über die Rohrlänge, die Zwangsbeanspruchungen in Rohrlängsrichtung bewirken, sind in der statischen Berechnung nach ATV-DVWK-A 127 nicht berücksichtigt und sind somit durch geeignete konstruktive Maßnahmen zu verhindern bzw. auf der Baustelle sicherzustellen.

9 Prüfergebnis

Aufgrund der Überprüfung der unter Ziff. 2. genannten Unterlagen wird bestätigt, dass die dargestellten Konstruktionen in statischer und konstruktiver Hinsicht dem Stand der Technik entsprechen.

Es bestehen aus statischer Sicht, wenn die von uns überprüften Unterlagen zugrunde gelegt, die vorhandenen Grüneintragungen in der Ausführungsstatik und die Hinweise unter Ziff. 8.2 bis Ziff. 8.6 eingehalten werden, keine Bedenken bezüglich der geplanten Ausführung.

Statische Berechnung SIMONA AG vom 30.04.2024



10 Sonstige Bemerkungen

Die Prüfung ist abgeschlossen.

LGA Bautechnik GmbH Grundbauinstitut, Statik

Dipl.-Ing.(FH) Barbara Koch

Referatsleiterin EUR ING

Bericht

Dipl.-Ing (FH) Markus Maletz

Anlagen

Verteiler:

Steinegaden Deponie Betrieb GmbH & Co. KG 1-fach (PDF) 1-fach (PDF) Ingenieurbüro Haas-Kahlenberg GmbH 1-fach (PDF) 1-fach (PDF)



SIMONA AG · Teichweg 16 · 55606 Kirn · Deutschland

Ingenieurbüro Haas-Kahlenberg GmbH Herrn Gerhard Haas-Kahlenberg Talhofstrasse 14 82205 Gilching Name: Laszlo Rösch

Phone: +49 (0) 67 52 14 - 424

Fax: +49 (0) 67 52 14 - 60 424

E-Mail: laszlo.roesch@simona-group.com

Datum 29.07.2024

Berechnung von SIMONA® PE 100 Rohren nach DWA-M 127, Teil 1 Objekt: Deponie Steinegaden

Sehr geehrter Herr Haas-Kahlenberg,

auf der Grundlage des Merkblattes DWA- (ATV-DVWK-) M 127, Teil 1, "Richtlinie für die statische Berechnung von Entwässerungsleitungen für Sickerwasser aus Deponien, Ergänzung zum Arbeitsblatt DWA- (ATV-DVWK-) A 127", März 1996, haben wir Deponie Entwässerungsrohre aus SIMONA® PE 100 berechnet.

Wir sind von Ihren Angaben gemäß E-Mails vom 25.04.2024, 29.07.2024 und Telefonat vom 30.04.2024 ausgegangen. Sofern Angaben für die Berechnung nicht verfügbar oder nicht ausreichend konkret gewesen sind, haben wir eigene Annahmen getroffen. Die Zulässigkeit der vorausgesetzten Einbettungs- und Überschüttungsbedingungen für das Rohr ist vor der Bauausführung vom Bauunternehmer eigenverantwortlich zu überprüfen. Die beiliegende Statik ist nur gültig, wenn die vorgegebenen Einbaubedingungen eingehalten werden.

Den 20° Segmentbogen (siehe Zeichnung 240326-2LR) können wir mit unseren mitteln nicht statisch berechnen. Wir gehen aber davon aus, dass die 5° segmentgeschweißten Bogenstücke des Segmentbogens die Belastung aus der statischen Berechnung 240426-1LR Rev.1 aushalten. Daher haben wir keine Bedenken gegenüber der Verlegung des Segmentbogens auf der Deponiebasis.



Anbei erhalten Sie das Original der prüffähigen Statik.

i.A. L. M

Mit freundlichen Grüßen

SIMONA AG Technical Service Center Anlage: Statik 240426-1LR Rev.1

Anschreiben Deponie Steinegaden Rev.1

Final Audit Report 2024-07-29

Created: 2024-07-29

By: Laszlo Rösch (laszlo.roesch@simona-group.com)

Status: Signed

Transaction ID: CBJCHBCAABAAWe2xLxsjVXC5zGvcMbls3ZCJ23_houRS

"Anschreiben Deponie Steinegaden Rev.1" History

- Document created by Laszlo Rösch (laszlo.roesch@simona-group.com) 2024-07-29 7:09:39 AM GMT
- Document emailed to Thomas Engel (thomas.engel@simona-group.com) for signature 2024-07-29 7:09:55 AM GMT
- Email viewed by Thomas Engel (thomas.engel@simona-group.com) 2024-07-29 7:12:04 AM GMT
- Document e-signed by Thomas Engel (thomas.engel@simona-group.com)
 Signature Date: 2024-07-29 7:12:14 AM GMT Time Source: server
- Agreement completed. 2024-07-29 - 7:12:14 AM GMT

Telefon (0 67 52) 14-0 Telefax (0 67 52) 14-302



Berechnungen in Anlehnung an Merkblatt ATV-M 127, Teil 1, März 1996

(angepaßt an die 3. Auflage (August 2000) des zugrundeliegenden Arbeitsblatts ATV-DVWK-A 127)

Projekt: Deponie Steinegaden

Bauherr: Ingenieurbüro Haas-Kahlenberg GmbH

Talhofstrasse 14 82205 Gilching

Statik-Nr: 240426-1LR Rev.1 Datum: 29.07.2024

Bearbeiter: Laszlo Rösch Telefon: 06752 / 14 - 424 Telefax: 06752 / 14 - 60 424

E-Mail: laszlo.roesch@simona-group.com

Eingabewerte:

Sicherheiten

Sicherheitsklasse: A (Regelfall)
zulässige Verformung: 6% (Regelfall)
Ververformung Typ A:

Rohr

Bezeichnung: Vollwand

Außendurchmesser: d_a 400,0 mm Wanddicke: s 54,70 mm

Rohr-Material

Materialklasse: Thermoplast Bezeichnung: SIMONA PE 100

Füllmedium:

Abminderungsfaktor Medieneinfluß:

Deponiesickerwasser

A_{Medium}

0,90

[1]

Grenzspannung Biegezug, Kurzzeit:

ORZK

21.00

N/r

N/mm² Grenzspannung Biegezug, Kurzzeit: 21,00 σ_{BZ.K} Grenzspannung Biegedruck, Kurzzeit: 21,00 N/mm² σвр.к Grenzspannung Biegezug, Langzeit: 14,00 N/mm² σ_{BZ.L} Grenzspannung Biegedruck, Langzeit: 14,00 N/mm² σ_{BD.L}

Boden neben und oberhalb des Rohres

E1: Kiesschüttung oberhalb des Rohres: Bodengruppe: G1

E-Modul: E_1 40,00 N/mm²

Rechnerische Erhöhung des E-Moduls unter Last: nein

E20: Leitungszone: Bodengruppe: G1

E-Modul: E₂₀ 40,00 N/mm²

Rechnerische Erhöhung des E-Moduls unter Last: nein

SIMONA

Telefon (0 67 52) 14-0 Telefax (0 67 52) 14-302

E3: anstehender Boden

E-Modul: 40,00 N/mm² E_3

Rechnerische Erhöhung des E-Moduls unter Last: nein

Boden unterhalb des Rohres:

E41: Bodengruppe: G1

E-Modul: E₄₁ 16,00 N/mm²

Rechnerische Erhöhung des E-Moduls unter Last: nein

E42: Bodengruppe: G4

E-Modul: E_{42} 4,00 N/mm²

Rechnerische Erhöhung des E-Moduls unter Last: nein

Einbau

Grabenbreite: <Damm>

Auflagerart: lose

Relative Ausladung: 1,00 [1] а

180° Auflagerwinkel:

Lastfall-Kombination 1

Bezeichnung: Stelle mit maximaler Überdeckung

zusätzliche Flächenlast (Betriebszustand): P_0 0,00 kN/m² Höhe Abdeckung (Betriebszustand): h_A 1,00 m Wichte Abdeckung: 20,00 kN/m³ γΑ Müllhöhe (Bauzustand): 1,00 h_{Bau} m Müllhöhe (Betriebszustand): 28,30 m h_{Betr} Wichte Müll: 15,00 kN/m³ γв

Höhe Filterkiesschüttung: 0,70 h_1 m Wichte des Filterkieses: 20,00 kN/m³ γ

Verkehrslast: **SLW 60** Telefon (0 67 52) 14-0 Telefax (0 67 52) 14-302



Zwischenergebnisse für Lastfall 1

Bezeichnung:		Stelle n	nit maximaler Übe	erdeckung			
Rohrgeometrie:							
Radius der Schwerachse der Rohrwand: Korrekturfaktor für die Krümmung, innen: Korrekturfaktor für die Krümmung, außen:		r _m α _{ki} α _{ka}	172,7 1,106 0,894	mm [1] [1]			
Belastung:							
			Bauzustand	Betriebsz	ustand		
Belastung aus zus. Flächenlast: Belastung aus Abdeckung: Belastung aus Müll:		p ₀ p _{ab} p _{Müll}	0,00 0,00 15,00	0,00 20,00 424,50	kN/m² kN/m² kN/m²		
Belastung aus Kies:		p _{Kies}	14,00	14,00	kN/m²		
Spannung aufgrund Erd- und Flächenlast:		P_E	29,00	458,50	kN/m²		
Spannung aufgrund Verkehrslast:		P_V	33,54	0,38	kN/m²		
Verformungsmoduln E _B :							
E-Modul Verfüllung unter Last: E-Modul Einbettung (abgemindert) unter La E-Modul anstehender Boden unter Last: E-Modul Boden unter dem Rohr unter Last:		Ε _{1,σ} Ε _{2,σ} Ε _{3,σ} Ε _{4,σ}	40,00 40,00 40,00 4,92	40,00 40,00 40,00 4,92	N/mm² N/mm² N/mm² N/mm²		
Bodensteifigkeiten:							
Korrekturfaktor für die horizontale Bettungs horizontale Bettungssteifigkeit: vertikale Bettungssteifigkeit:	steifigke	it: ζ S _{Bh} S _{Bv}	1,000 24,000 40,000	1,000 24,000 40,000	[1] [1] [1]		
Auflagerwinkel, wirksame Ausladung und F	Reibungs	winkel:					
Auflagerwinkel: innerer Reibungswinkel:		$\underset{\phi^{'}}{2\alpha}$	180 35,000	。 [1]			
		Kurzzeit: alle Lasten	Langzeit: Erdlasten, Verkehrslasten	Langzeit: sonstige Lasten			
Rohrwerkstoffkennwerte und Ringsteifigkei	t:						
E-Modul Rohrwerkstoff: Grenzspannung Biegezug: Grenzspannung Biegedruck: Ringsteifigkeit des Rohres:	E_R σ_BZ σ_BD S_0	720,0 18,9 18,9 238,519	144,5 12,6 12,6 47,861	144,0 12,6 12,6 47,704	N/mm² N/mm² N/mm² kN/m²		
Steifigkeitsverhältnisse:							
Systemsteifigkeit: Steifigkeitsverhältnis:	$V_{RB} \ V_{S}$	0,0795 1,0235	0,0160 0,5292	0,0159 	[1] [1]		
Beiwerte:	Beiwerte:						
Erdruckbeiwert (Einbettung): Beiwert für den Bettungsreaktionsdruck: Beiwert für vertikale Verformung:	Κ ₂ Κ* c _v *	0,400 0,573 -0,0466	0,400 1,019 -0,0181	 	[1] [1] [1]		

SIMONA

Telefon (0 67 52) 14-0 Telefax (0 67 52) 14-302

Konzentrationsfaktoren λ_R und λ_B :				
Maximaler Konzentrationsfaktor:	max λ	1,030	1,030	 [1]
Beiwert K':	K'	1,000	1,000	 [1]
Startwert:	λR	1,006	0,986	 [1]
unter Grabeneinfluß:	λRG	1,006	0,986	 [1]
oberer Grenzwert:	λfo	3,895	3,895	 [1]
unterer Grenzwert:	λfu	0,576	0,576	 [1]
endgültiger Wert:	λRG	1,006	0,986	 [1]
Konzentrationsfaktor Boden:	λΒ	0,998	1,005	 [1]
Druckverteilung am Rohrumfang:				
vertikale Gesamtlast:	q_v	62,72	452,44	 kN/m²
Seitendruck:	q _h	13,18	185,86	 kN/m²
Bettungsreaktionsdruck (Erdlasten):	q* _h	28,40	271,62	 kN/m²

SIMONA

Telefon (0 67 52) 14-0 Telefax (0 67 52) 14-302

Schnittkräfte für Lastfall 1, Scheitel

Moment aufgrund vertikaler Gesamtbelastung: Moment aufgrund Seitendruck: Moment aufgrund horiz. Bettungsreaktionsdruck: Moment aufgrund Eigengewicht:	M _{qv} M _{qh} M* _{qh} M _g	Kurzzeit 0,467 -0,098 -0,153 0,005	Langzeit 3,372 -1,385 -1,465 0,005	kNm/m kNm/m kNm/m kNm/m
Summe der Momente:	ΣM Σ_{Mqv,qh,qh^*} Σ_{Msonst} $\Sigma M'$	0,221	0,526	kNm/m
Summe der Momente aufgrund Erd- und Verkehrslasten:		0,216	0,521	kNm/m
Summe der Momente anderer Lasten:		0,005	0,005	kNm/m
Summe ohne Wasserfüllung und Druck:		0,221	0,526	kNm/m
Normalkraft aufgrund vertikaler Gesamtbelastung:	$egin{array}{l} N_{qv} \ N_{qh} \ N^*_{qh} \ N_g \end{array}$	0,000	0,000	kN/m
Normalkraft aufgrund Seitendruck:		-2,275	-32,089	kN/m
Normalkraft aufgrund horiz. Bettungsreaktionsdruck:		-2,829	-27,058	kN/m
Normalkraft aufgrund Eigengewicht:		0,015	0,015	kN/m
Summe der Normalkräfte:	Σ N Σ_{Nqv,qh,qh^*} Σ_{Nsonst} Σ N'	-5,089	-59,132	kN/m
Summe der Normalkräfte aufgrund Erd- und Verkehrsl.:		-0,005	-0,059	kN/m
Summe der Normalkräfte anderer Lasten:		0,000	0,000	kN/m
Summe ohne Wasserfüllung und Druck:		-5,089	-59,132	kN/m
Schnittkräfte für Lastfall 1, Kämpfer				

		Kurzzeit	Langzeit	
Moment aufgrund vertikaler Gesamtbelastung:	M_{qv}	-0,467	-3,372	kNm/m
Moment aufgrund Seitendruck:	M_{qh}	0,098	1,385	kNm/m
Moment aufgrund horiz. Bettungsreaktionsdruck:	M* _{qh}	0,176	1,684	kNm/m
Moment aufgrund Eigengewicht:	M_g	-0,006	-0,006	kNm/m
Summe der Momente:	ΣM	-0,199	-0,309	kNm/m
Summe der Momente aufgrund Erd- und Verkehrslasten:	Σ_{Mqv,qh,qh^*}	-0,193	-0,302	kNm/m
Summe der Momente anderer Lasten:	Σ_{Msonst}	-0,006	-0,006	kNm/m
Summe ohne Wasserfüllung und Druck:	$\Sigma M'$	-0,199	-0,309	kNm/m
Normalkraft aufgrund vertikaler Gesamtbelastung:	N_{qv}	-10,828	-78,113	kN/m
Normalkraft aufgrund Seitendruck:	N _{qh}	0,000	0,000	kN/m
Normalkraft aufgrund horiz. Bettungsreaktionsdruck:	N* _{gh}	0,000	0,000	kN/m
Normalkraft aufgrund Eigengewicht:	N_g	-0,142	-0,142	kN/m
Summe der Normalkräfte:	ΣN	-10,970	-78,256	kN/m
Summe der Normalkräfte aufgrund Erd- und Verkehrsl.:	Σ_{Nqv,qh,qh^*}	-0,011	-0,078	kN/m
Summe der Normalkräfte anderer Lasten:	Σ_{Nsonst}	0,000	0,000	kN/m
Summe ohne Wasserfüllung und Druck:	$\Sigma N'$	-10,970	-78,256	kN/m

Schnittkräfte für Lastfall 1, Sohle

		Kurzzeit	Langzeit	
Moment aufgrund vertikaler Gesamtbelastung:	M_{qv}	0,467	3,372	kNm/m
Moment aufgrund Seitendruck:	M_{ah}	-0,098	-1,385	kNm/m
Moment aufgrund horiz. Bettungsreaktionsdruck:	M* ['] ah	-0,153	-1,465	kNm/m
Moment aufgrund Eigengewicht:	M_g	0,007	0,007	kNm/m

SIMONA

Telefon (0 67 52) 14-0 Telefax (0 67 52) 14-302

Summe der Momente:	ΣM : Σ_{Mqv,qh,qh^*} Σ_{Msonst} $\Sigma M'$	0,223	0,528	kNm/m
Summe der Momente aufgrund Erd- und Verkehrslasten		0,216	0,521	kNm/m
Summe der Momente anderer Lasten:		0,007	0,007	kNm/m
Summe ohne Wasserfüllung und Druck:		0,223	0,528	kNm/m
Normalkraft aufgrund vertikaler Gesamtbelastung:	$egin{array}{l} N_{qv} \ N_{qh} \ N^*_{qh} \ N_g \end{array}$	0,000	0,000	kN/m
Normalkraft aufgrund Seitendruck:		-2,275	-32,089	kN/m
Normalkraft aufgrund horiz. Bettungsreaktionsdruck:		-2,829	-27,058	kN/m
Normalkraft aufgrund Eigengewicht:		-0,015	-0,015	kN/m
Summe der Normalkräfte:	ΣN Σ_{Nqv,qh,qh^*} Σ_{Nsonst} $\Sigma N'$	-5,119	-59,162	kN/m
Summe der Normalkräfte aufgrund Erd- und Verkehrsl.:		-0,005	-0,059	kN/m
Summe der Normalkräfte anderer Lasten:		0,000	0,000	kN/m
Summe ohne Wasserfüllung und Druck:		-5,119	-59,162	kN/m

Telefon (0 67 52) 14-0 Telefax (0 67 52) 14-302



Nachweise für Lastfallkombination 1, Kurzzeit

Spannungsnachweis:

Rechn. Grenzspannung, Erd- und Verkehrs Rechn. Grenzspannung, Erd- und Verkehrs Grenzspannung, sonstige Lasten, Biegedru Grenzspannung, sonstige Lasten, Biegedru	sl., Bieged g:	$\sigma_{\text{,rech,BZ}}$ $\sigma_{\text{,rech,BD}}$ $\sigma_{\text{,zul,BZ}}$ $\sigma_{\text{,zul,BD}}$	18,9 18,9 18,9 18,9	N/mm² N/mm² N/mm² N/mm²	
innen: Spannung aufgrund Erd- und Verkehrslaste Spannung aufgrund anderer Lasten: Sicherheit: Sicherheit:	en _{Gqv,qh,qh} , σsonst,i γΒΖi γΒDi	Scheitel 0,385 0,012 47,52	Kämpfer -0,626 -0,016 29,43	Sohle 0,385 0,015 47,19	N/mm² N/mm² [1] [1]
außen: Spannung aufgrund Erd- und Verkehrslaste Spannung aufgrund anderer Lasten: Sicherheit: Sicherheit:	PN _{σqv,qh,qh} Osonst,a γΒΖα γΒDa	Scheitel -0,48 -0,01 38,57	Kämpfer 0,15 0,01 120,54 	Sohle -0,48 -0,01 38,32	N/mm² N/mm² [1]
erforderliche Sicherheit Biegezug: erforderliche Sicherheit Biegedruck:		$\begin{array}{c} \text{erf } \gamma_{\text{BZ}} \\ \text{erf } \gamma_{\text{BD}} \end{array}$	2,50 1,50	[1] [1]	

Die errechneten Spannungs-Sicherheiten sind größer als die notwendigen Sicherheiten.

Verformungsnachweis:

Rechenmodus:		linear		
resultierender Verformungsbeiwert:	c' _v	q _v -0,0833	q _h 0,0833	q _h * 0,0640 [1]
vertikale Durchmesseränderung: horizontale Durchmesseränderung: relative vertikale Verformung:		Δd _v Δd _h δ _v	-0,4 0,4 -0,12	mm mm %
konstanter Druckanteil: konstante relative Verformung:		$oldsymbol{q_0}{\delta_0}$	46,1 -0,02	kN/m² %
relative Gesamtverformung:		δ_0 + δ_1	-0,14	%
zulässige Verformung:		z ul d $_{\rm v}$	6,00	%
D: 1 () (() () ()				

Die errechnete Verformung ist kleiner als die zulässige Verformung.

Nichtlinearer Stabilitätsnachweis:

vertikale Gesamtbelastung	q _v	62,7	kN/m²
Moment aufgrund vertikaler Gesamtbelastung:	M _{So}	0,22	kNm/m
Normalkraft aufgrund vertikaler Gesamtbelastung:	N _{So}	-5,12	kNm/m
Abminderungsfaktor für Erd-/Verkehrsl.:	κ_{v2} krit q_v $\alpha_{II,qv}$	0,85	[1]
kritische Beullast (Erd-/Verkehrslast):		11,530	kN/m²
Momenten-Vergrößerungsfaktor Erd-/Verkehrslast:		1,01	[1]
Spannung in Sohle aufgrund Erd-/Verkehrslast, innen: Spannung in Sohle aufgrund Erd-/Verkehrslast, außen:	σSo,qv,i	0,406	N/mm²
	σSo,qv,a	-0,498	N/mm²
Gesamt-Sicherheit (Stabilität) innen:	γstab,i	46,56	[1]
Gesamt-Sicherheit (Stabilität) außen:	γstab,a	-37,98	[1]
erforderliche Sicherheit (Stabilität, Biegezug):	erf γStab,BZ	2,00	[1]
erforderliche Sicherheit (Stabilität, Biegedruck):	erf γStab,BD	1,50	[1]

SIMONA

Telefon (0 67 52) 14-0 Telefax (0 67 52) 14-302

Die errechneten Sicherheiten (Stabilität) sind größer als die notwendigen Sicherheiten.

Telefon (0 67 52) 14-0 Telefax (0 67 52) 14-302



Nachweise für Lastfallkombination 1, Langzeit

Spannungsnachweis:

Rechn. Grenzspannung, Erd- und Verkehrs Rechn. Grenzspannung, Erd- und Verkehrs Grenzspannung, sonstige Lasten, Biegezug Grenzspannung, sonstige Lasten, Biegedru	I., Bieged J:	zug: $\sigma_{,\text{rech},BZ}$ druck: $\sigma_{,\text{rech},BD}$ $\sigma_{,\text{zul},BZ}$ $\sigma_{,\text{zul},BD}$	12,6 12,6 12,6 12,6	N/mm² N/mm² N/mm² N/mm²	
innen: Spannung aufgrund Erd- und Verkehrslaste Spannung aufgrund anderer Lasten: Sicherheit: Sicherheit:	Ph _{Öqv,qh,qh} Osonst,i ΥΒΖί ΥΒΟί	Scheitel ,i 0,074 0,012 146,18 	Kämpfer -2,099 -0,016 5,96	Sohle 0,074 0,015 141,61	N/mm² N/mm² [1] [1]
außen: Spannung aufgrund Erd- und Verkehrslaste Spannung aufgrund anderer Lasten: Sicherheit: Sicherheit:	P n ö _{qv,qh,qh} Osonst,a γΒΖα γΒDα	Scheitel -2,02 -0,01 6,22	Kämpfer -0,89 0,01 14,37	Sohle -2,02 -0,01 6,21	N/mm² N/mm² [1] [1]
erforderliche Sicherheit Biegezug: erforderliche Sicherheit Biegedruck:		$\begin{array}{c} \text{erf } \gamma_{\text{BZ}} \\ \text{erf } \gamma_{\text{BD}} \end{array}$	2,50 1,50	[1] [1]	

Die errechneten Spannungs-Sicherheiten sind größer als die notwendigen Sicherheiten.

Verformungsnachweis:

Rechenmodus:		linear		
resultierender Verformungsbeiwert:	c' _v	q _v -0,0833	q _h 0,0833	q _h * 0,0640 [1]
vertikale Durchmesseränderung: horizontale Durchmesseränderung: relative vertikale Verformung:		Δd _v Δd _h δ _v	-4,3 3,9 -1,26	mm mm %
konstanter Druckanteil: konstante relative Verformung:		$q_0 \ \delta_0$	397,6 -0,87	kN/m² %
relative Gesamtverformung:		$\delta_0 + \delta_1$	-2,13	%
zulässige Verformung:		z ul d $_{v}$	6,00	%
Discourse the state of the second	.12 1 2			

Die errechnete Verformung ist kleiner als die zulässige Verformung.

Nichtlinearer Stabilitätsnachweis:

vertikale Gesamtbelastung	$\begin{array}{l} q_v \\ M_{So} \\ N_{So} \end{array}$	452,4	kN/m²
Moment aufgrund vertikaler Gesamtbelastung:		0,53	kNm/m
Normalkraft aufgrund vertikaler Gesamtbelastung:		-59,16	kNm/m
Abminderungsfaktor für Erd-/Verkehrsl.:	κ_{v2} krit q_v $\alpha_{II,qv}$	0,87	[1]
kritische Beullast (Erd-/Verkehrslast):		5,249	kN/m²
Momenten-Vergrößerungsfaktor Erd-/Verkehrslast:		1,21	[1]
Spannung in Sohle aufgrund Erd-/Verkehrslast, innen:	σSo,qv,i	0,333	N/mm²
Spannung in Sohle aufgrund Erd-/Verkehrslast, außen:	σSo,qv,a	-2,226	N/mm²
Gesamt-Sicherheit (Stabilität) innen:	γstab,i	37,87	[1]
Gesamt-Sicherheit (Stabilität) außen:	γstab,a	-5,66	[1]
erforderliche Sicherheit (Stabilität, Biegezug):	erf γstab,BZ	2,00	[1]
erforderliche Sicherheit (Stabilität, Biegedruck):	erf γstab,BD	1,50	[1]

SIMONA

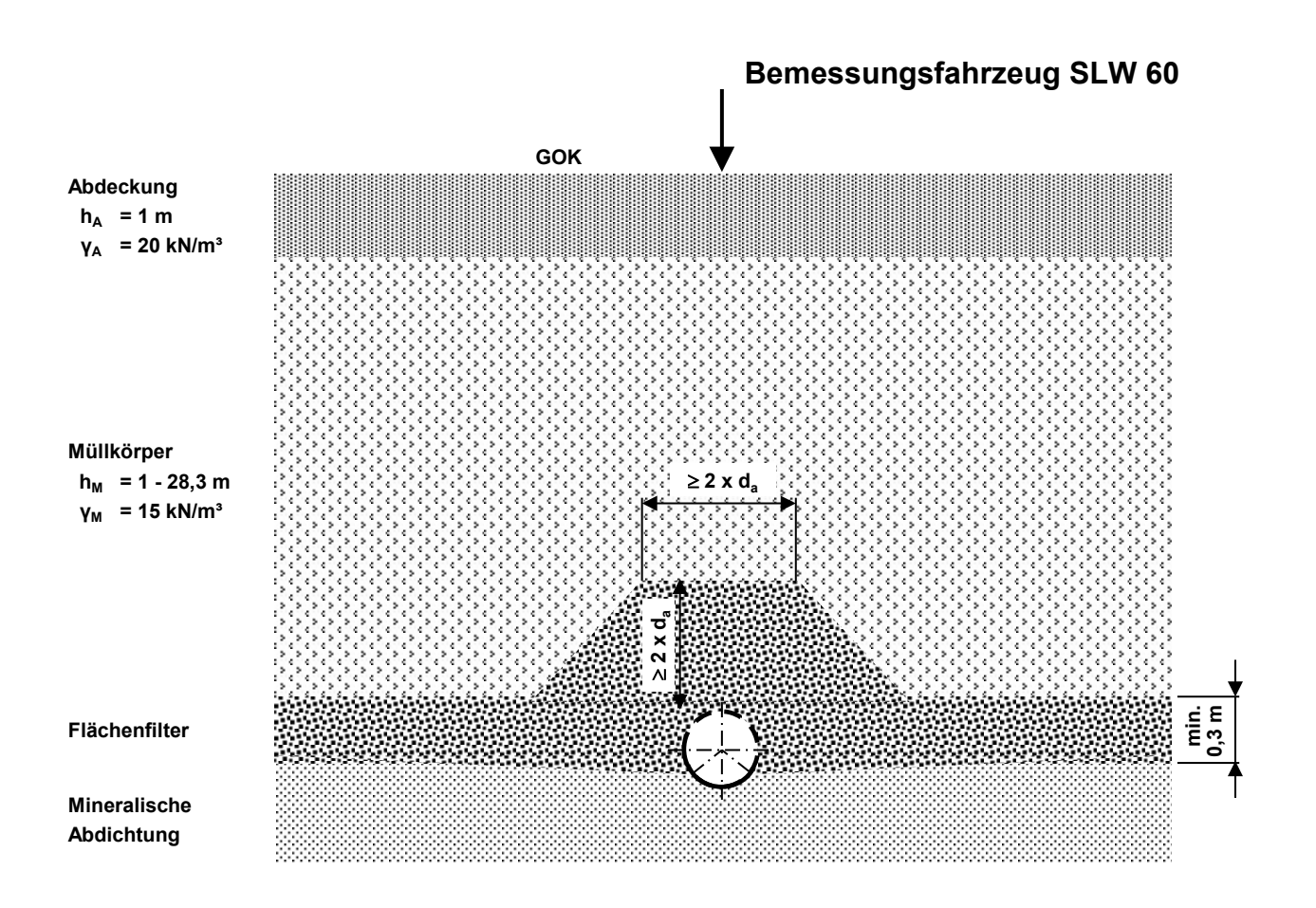
Telefon (0 67 52) 14-0 Telefax (0 67 52) 14-302

Die errechneten Sicherheiten (Stabilität) sind größer als die notwendigen Sicherheiten.

Telefon: (06752) 14-0 Telefax: (06752) 14-211



Bei der Berechnung wurden Ihre Angaben verwendet - siehe Zeichnung. Diese wurden als korrekt vorausgesetzt.



Auflagerwinkel 120°

Prinzipskizze Alle Maße in m

Für prüffähige Nachweise wird ein Kostenbeitrag erhoben



Unterschrift

Datum: 29.07.2024 Statiknummer: 240426-1LR Rev.1 Seite: 11

240426-1LR Rev.1 Deponie Steinegaden

Final Audit Report 2024-07-29

Created: 2024-07-29

By: Laszlo Rösch (laszlo.roesch@simona-group.com)

Status: Signed

Transaction ID: CBJCHBCAABAAEP9G6gmP7iWCUzLUEYh7YImYyX9ObH64

"240426-1LR Rev.1 Deponie Steinegaden" History

- Document created by Laszlo Rösch (laszlo.roesch@simona-group.com) 2024-07-29 7:10:08 AM GMT
- Document emailed to Thomas Engel (thomas.engel@simona-group.com) for signature 2024-07-29 7:10:27 AM GMT
- Email viewed by Thomas Engel (thomas.engel@simona-group.com) 2024-07-29 7:12:21 AM GMT
- Document e-signed by Thomas Engel (thomas.engel@simona-group.com)
 Signature Date: 2024-07-29 7:12:29 AM GMT Time Source: server
- Agreement completed. 2024-07-29 - 7:12:29 AM GMT